

1.2. Complément de mécanique du solide : lois du frottement solide

Utiliser les lois de Coulomb. (pour un solide en translation)

non-glissement: $\begin{cases} \vec{v}_{g2/1} = \vec{0} \\ \|\vec{T}_{1/2}\| \leq f_s \|\vec{N}\| \end{cases}$

glissement: $\begin{cases} \vec{v}_{g2/1} \neq \vec{0} \\ \|\vec{T}\| = f_d \|\vec{N}\| \\ \vec{T} \text{ et } \vec{v}_{g2/1} \text{ anticollinéaires} \end{cases}$

Formuler et valider une hypothèse.

- Formulation d'une hypothèse
- Exploitation (des lois de Coulomb)
- Résolution (PFD)
- Validation
- Conclusion

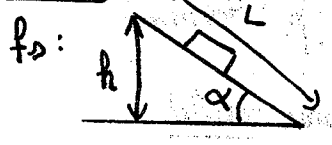
P_{tot} : puissance des deux actions de contact 1 sur 2 et 2 sur 1

Effectuer un bilan énergétique. \rightarrow Puissance de \vec{R} ? (\vec{R} : réaction du support sur solide S)

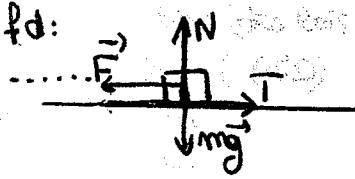
$P(\vec{R}) = \vec{R} \cdot \vec{v}(IES) = \vec{T} \cdot \vec{v}(IES)$

\rightarrow non-glissement: $P_{\text{tot}} = 0$
 glissement: $P_{\text{tot}} < 0$ ($P_{\text{tot}} = \vec{v}_{g2/1} \cdot \vec{T}_{1 \rightarrow 2}$)

Effectuer une mesure d'un coefficient de frottement.



PFD $\rightarrow \frac{T}{N} = \tan \alpha$
 Coulomb $\rightarrow T \leq f_s N \rightarrow$ limite glissement $T = f_s N \Rightarrow \tan \alpha = f_s$
 exp: $h =$ hauteur à partir de laquelle le glissement commence
 $\alpha = \arcsin \frac{h}{L}$

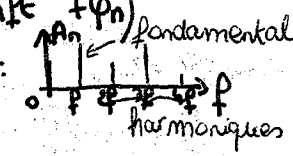


$\begin{cases} N = mg \\ T = F \\ T = f_d N \text{ (glissement, Coulomb)} \end{cases} \Rightarrow f_d = \frac{F}{mg}$ ($\langle F \rangle$ mesurée avec un capteur et lois de Newton)

2.1. Signaux périodiques

commenter spectre signal périodique.

$s(t) = A_0 + \sum_{n=1}^{\infty} A_n \cos(2\pi n f t + \varphi_n)$
 \rightarrow spectre en amplitude représente les A_n en fonction de la fréquence f
 \rightarrow spectre en phase représente les φ_n



réviser l'effet d'un filtre sur la composition spectrale d'un signal périodique

$H(j\omega)$ = fonction de transfert d'un filtre // $e(t)$ = signal d'entrée = $E_0 + \sum_{n=1}^{\infty} E_n \cos(n\omega t + \varphi_n)$

pour composante continue: $s(t) = H(0) E_0$

pour fondamental: $s(t) = G(\omega) E_1 \cos(\omega t + \varphi_{e,1} + \varphi(\omega))$

pour harmonique de rang n: $s(t) = G(n\omega) E_n \cos(n\omega t + \varphi_{e,n} + \varphi(n\omega))$

Par superposition,
 $s(t) = H(0) E_0 + \sum_{n=1}^{\infty} G(n\omega) E_n \cos(n\omega t + \varphi_{e,n} + \varphi(n\omega))$

expliciter les conditions pour obtenir un comportement intégrateur/dérivateur.

Un filtre intégrateur si $H(j\omega) = \frac{A}{j\omega}$ (A constante réelle ≥ 0) et $\varphi(\omega) = -\frac{\pi}{2}$
 \Rightarrow diagramme de Bode en amplitude a une pente de $-20\text{dB}/\text{décade}$

+ faut que principales raies du spectre soient dans la zone (pente $\pm 20\text{dB}/\text{décade}$)

Un filtre dérivateur si $H(j\omega) = A j\omega$ et $\varphi(\omega) = \frac{\pi}{2}$
 \Rightarrow diagramme de Bode en amplitude a une pente de $+20\text{dB}/\text{décade}$.

mettre en œuvre un dispositif expérimental: illustrer action filtre sur signal périodique

- \rightarrow créer filtre passe-bas; passe-haut; passe-bande...
- \rightarrow mettre en entrée un signal périodique
- \rightarrow observer disparition hautes-fréquences; basses-fréquences; ...

détecter le caractère non-linéaire d'un système.

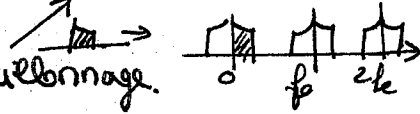
\rightarrow observer l'apparition de nouvelles fréquences en sortie pour une entrée sinusoïdale.

Réaliser l'échantillonnage d'un signal,

→ faire l'acquisition d'un signal sinusoïdal sur latus f_0

→ Effectuer une analyse de Fourier sur latus f_0 .

Il y a périodisation du motif (période f_e)



Commenter la structure du spectre du signal obtenu après échantillonnage.

Choisir la fréquence d'échantillonnage.

Respecter la condition de Nyquist-Shannon : la fréquence d'échantillonnage doit être plus grande que le double de la fréquence maximale du signal analysé.

Mettre en évidence le phénomène de repliement de spectre.

→ choisir $f_e < 2f_{max}$. \Rightarrow nombreuses raies en plus.

Mettre en œuvre un convertisseur analogique/numérique et un traitement numérique pour réaliser un filtre passe-bas.

Utiliser un convertisseur numérique/analogique pour restituer un signal analogique.

Chapitre THEM 4

Éléments de physique statistique

1. Onde microscopique, macroscopique

Échelle macroscopique \rightarrow matière et grandeurs continues (≥ 1 mm)

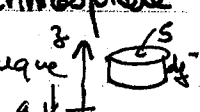
Échelle microscopique \rightarrow discontinuité (~ 1 nm)

Échelle mésoscopique (intermédiaires) \rightarrow permet de décrire finement les variations des grandeurs macroscopiques tout en profitant

$\frac{M}{\Omega} dz \leftarrow$ d'une description continue ($\sim 1 \mu\text{m}$)

2. Facteur de Boltzmann

Modèle de l'atmosphère isotherme (à T_0) $\rightarrow P(z) = P(z=0) e^{-z/H}$

Faire bilan mécanique  $P(z+dz)S + P(z)S - dm g = 0$

avec $H = \frac{RT_0}{mg}$

Facteur de Boltzmann : $e^{-\frac{mgz}{k_B T}}$ (de manière générale $e^{-\frac{E}{k_B T_0}}$ avec E énergie)

où $k_B = \frac{R}{N_A} = 1,38 \times 10^{-23} \text{ J.K}^{-1}$ est la constante de Boltzmann

Alors le nombre de particules présentes à l'altitude z (et la probabilité pour une particule d'être à l'altitude z) est proportionnelle au facteur de Boltzmann.

* Si T_0 grande, ie $k_B T_0 \gg mgh$, H grand \Rightarrow P uniforme \Rightarrow molécules partout

* Si T_0 petite, ie $k_B T_0 \ll mgh$, H faible \Rightarrow molécules tassées en bas

7.3 Systèmes à spectre discret d'énergies

Energies quantifiées $E_i \rightarrow P(E=E_i) \propto e^{\frac{-E_i}{k_B T_0}} = A e^{\frac{-E_i}{k_B T_0}}$

Condition de normalisation $\Rightarrow \sum_i P(E=E_i) = 1 \Rightarrow A = \frac{1}{\sum_i e^{\frac{-E_i}{k_B T_0}}}$

Pour $E_j > E_i$, on pose $r = \frac{P(E=E_j)}{P(E=E_i)} = e^{\frac{-(E_j-E_i)}{k_B T_0}} \begin{cases} \ll 1 & \text{si } k_B T_0 \ll E_j - E_i \\ \approx 1 & \text{si } k_B T_0 \gg E_j - E_i \end{cases}$

Ainsi si $k_B T_0 \ll E_2 - E_1 \Rightarrow k_B T_0 \ll E_j - E_1 \forall j$
 \Rightarrow Seul l'état fondamental est peuplé.

si $k_B T_0 \gg E_m - E_1 \Rightarrow k_B T_0 \gg E_j - E_1 \forall i \forall j$
 \Rightarrow Toutes les probabilités sont égales

Énergie d'une particule: • $\langle E_{\pm \text{particule}} \rangle = \sum_i E_i P(E=E_i)$
 $= \sum_i E_i A e^{\frac{-E_i}{k_B T_0}}$

• $\Delta E_{\pm \text{particule}} = \sqrt{\text{Var}(E_{\pm \text{particule}})} = \sqrt{\sum_i (E_i - \langle E_{\pm \text{particule}} \rangle)^2 P(E=E_i)}$

N particules indépendantes

• $\langle E_{\text{tot}} \rangle = N \langle E_{\pm \text{particule}} \rangle$

• $\text{Var}(E_{\text{tot}}) = N \text{Var}(E_{\pm \text{particule}}) \Rightarrow \Delta E_{\text{tot}} = \sqrt{N} \Delta E_{\pm \text{particule}}$

D'où $\frac{\Delta E_{\text{tot}}}{\langle E_{\text{tot}} \rangle} = \frac{1}{\sqrt{N}} \frac{\Delta E_{\pm \text{particule}}}{\langle E_{\pm \text{particule}} \rangle}$

\hookrightarrow Les fluctuations relatives d'énergie décroissent quand N augmente \Rightarrow Pour un système macroscopique ($N \gg 1$), les grandeurs sont donc parfaitement définies

Système à deux niveaux $-\epsilon$ et $+\epsilon$:

- $\langle E_{\text{particule}} \rangle = -\epsilon \tanh\left(\frac{\epsilon}{R_B T}\right) = -\epsilon \rho(\epsilon = -\epsilon) + \epsilon \rho(\epsilon = +\epsilon)$
- $\langle E_{\text{tot}} \rangle = -N \epsilon \tanh\left(\frac{\epsilon}{R_B T}\right)$
- $C_V = \frac{d\langle E_{\text{tot}} \rangle}{dT}$
- $C_V = \frac{d\langle E_{\text{tot}} \rangle}{dT} = \frac{N \epsilon^2}{R_B T^2} \left(1 - \tanh^2\left(\frac{\epsilon}{R_B T}\right)\right) = \frac{\Delta E_{\text{tot}}^2}{R_B T^2}$

($C = \frac{\Delta E_{\text{tot}}^2}{R_B T^2}$ est une relation générale)

On remarque alors que si $T \rightarrow 0^+$, $\langle E_{\text{particule}} \rangle \rightarrow -\epsilon$,
seul le niveau $-\epsilon$ est possible

• $T \rightarrow +\infty$, $\langle E_{\text{particule}} \rangle = 0$, i.e.
les deux niveaux sont équiprobables.

7.4. Capacités thermiques classiques des gaz et des solides

Un degré de liberté \leftrightarrow paramètre de position ou sa dérivée / au temps
quadratique \leftrightarrow intervient par son carré

Théorème d'équipartition : \rightarrow Chaque degré de liberté quadratique
d'un système de particules indépendantes en équilibre thermique
avec un thermostat T contribue additivement par $\frac{1}{2} R_B T$ à la
l'énergie moyenne d'une particule.

GPM : $\rightarrow E_{\text{part}} = \bar{E} = \frac{1}{2} m (\dot{x}^2 + \dot{y}^2 + \dot{z}^2) \rightarrow$ 3 deg de liberté
quadratiques

$$\Rightarrow \langle E_{\text{particule}} \rangle = \frac{3}{2} R_B T$$

$$\Rightarrow \langle E_{\text{tot}} \rangle = \frac{3}{2} N R_B T \Rightarrow C_V = \frac{d}{dT} (\langle E_{\text{tot}} \rangle) = \frac{3}{2} N R_B$$

$$\Rightarrow C_{V,m} = \frac{C_V}{N} = \frac{C_V N_A}{N} = \frac{3}{2} R$$

GP diatomique:



halterie rigide

$$\Rightarrow E_{\text{particule}} = \frac{1}{2} m (\dot{x}^2 + \dot{y}^2 + \dot{z}^2) + \dot{\theta}^2 \text{ et } \dot{\varphi}^2 \text{ indépendamment}$$

\Rightarrow 5 deg. de liberté quadratiques

$$\Rightarrow C_{V,m} = \frac{5}{2} R$$

Solide: Modèle classique d'Einstein \rightarrow chaque atome est indépendant

$$\Rightarrow E_{\text{atome}} = \frac{1}{2} m (\dot{x}^2 + \dot{y}^2 + \dot{z}^2) + \frac{1}{2} k_x x^2 + \frac{1}{2} k_y y^2 + \frac{1}{2} k_z z^2$$

mobile dans une cuvette de potentiel

$$\Rightarrow C_{V,m} = 3R = 24,94 \text{ J.K}^{-1} \cdot \text{mol}^{-1}$$

\hookrightarrow C'est la loi expérimentale de Dulong et Petit

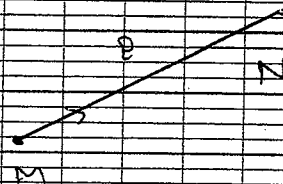
Exemples de système à deux niveaux:

Fiche 2.

Savoir La lumière est une onde électromagnétique ($\vec{E}(M,t), \vec{B}(M,t)$) qui se propage. La grandeur lumineuse est une composante du champ électrique.

Exprimer

$$\varphi(N) = \varphi(M) + \frac{n \cdot d_{MN}}{c} = \varphi(M) + \frac{2\pi \cdot n \cdot d}{\lambda_0}$$



$$\varphi(N) = \varphi(M) + \frac{2\pi}{\lambda_0} (MN) \quad \text{avec} \quad (MN) = c \cdot \tau$$

Utiliser

- Entre 2 surfaces d'onde, le chemin optique est indep du rayon lumineux
- Après un nbr arbitraire de réflexions ou de réfracs, les rayons issus de S sont orthogonaux aux surfaces d'ondes associées à S

Citer

lum blanche:	$\tau_c \approx 0,9 \mu\text{s}$	$\tau_c \approx 3 \times 10^{-15} \text{ s} = 3 \text{ fs}$	-
lampe Hg:	$\tau_c \approx 0,5 \text{ ns}$	$\tau_c \approx 1 \times 10^{-12} \text{ s} = 1 \text{ ps}$	
laser CO ₂ stabilisé	$\tau_c \approx 30 \text{ pm}$	$\tau_c \approx 1 \times 10^{-4} \text{ s} = 0,1 \text{ ms}$	

Utiliser

$$\Delta \varphi = 2\pi = 1 \Rightarrow \Delta \lambda = \frac{\lambda^2}{c \cdot \tau_c}$$

Recher

$$\vec{E}(M) = k \int \vec{J}(\vec{M}', t') dV'$$

Citer

œil	$\tau_{\text{réponse}} \approx 10^{-3} \text{ s}$	$\gg \frac{1}{10^3} \text{ s}$	période lumineuse
photodiode	$\tau \approx 10^{-9} \text{ s}$		

Mettre en oeuvre

capteur CCD

Fiche 3

Utiliser pour justifier

Si on suppose 2 ondes incohérentes, on a additivité des intensités

$$E = h \times (\omega_1^2)_{cr} + h (\omega_2^2)_{cr} + 2h (\omega_1 \omega_2)_{cr}$$

$$= \sum \epsilon_1 + \epsilon_2$$

$$2h \omega_1 \omega_2 (\cos(\omega_1 t + \varphi_1 + \omega_2 t + \varphi_2) \cos(\omega_1 t - \varphi_1) \cos(\omega_2 t - \varphi_2))$$

$$= 2h \omega_1 \omega_2 (\cos(\omega_1 + \omega_2) \dots + \cos(\omega_1 - \omega_2) \dots)$$

Planche avec $\omega_1 = \omega_2$

ni sources en cohérence

$$\varphi_2 - \varphi_1 = \Delta\varphi(t)$$

fonction aléatoire du temps $\cos(\Delta\varphi(t)) = 0$ pas d'interférences

Utiliser

Conditions pour que le phénomène d'interférence apparaisse: ondes quasi synchrones ($\omega_1 \approx \omega_2$) et déphasage constant ou très peu variable ds le temps: une seule source qui donne naissance à 2 sources (interférométrie)

Établi en

Établir

$$I = I_1 + I_2 + 2\sqrt{I_1 I_2} \cos\left(\frac{2\pi}{\lambda} (S_2 M - S_1 M)\right)$$

montrer explicitement

Utiliser

$$a_0 = \frac{2\pi}{\lambda}$$

$$\lambda = \frac{c}{\nu}$$

$$\Delta = d_1 e^{i\varphi_1} + d_2 e^{i\varphi_2}$$

$$I = \frac{1}{2} k_0 a_0^2 = \frac{1}{2} k_0^2 l^2 = \frac{1}{2} k_0^2 l^2 + \frac{1}{2} 2 k_0 d_1 d_2 \cos(\varphi_2 - \varphi_1) = I_1 + I_2 + 2\sqrt{I_1 I_2} \cos(\varphi_2 - \varphi_1)$$

Associer

$$E = \frac{1}{2} \epsilon_0 E_{max}^2 - \frac{1}{2} \epsilon_0 E_{min}^2$$

$$= \frac{1}{2} \epsilon_0 (E_{max}^2 + E_{min}^2)$$

Fresnel

$$E = 2\sqrt{I_1 I_2}$$

$$E_1 + E_2$$

maximum pr $E_1 = E_2$

Bon contraste pr intensités voisines

Établir

N ondes cohérentes, de \hat{a} amplitude phases en progression arithmétique

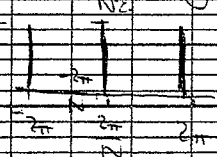
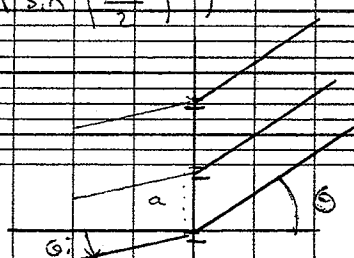
$$E = E_0 \left(\frac{\sin^2(N \frac{\delta\varphi}{2})}{\sin^2(\frac{\delta\varphi}{2})} \right) \Rightarrow \frac{1}{N^2}$$

est la demi-largeur d'un pic principal de $\frac{1}{N^2}$ (voir figure)

Établir

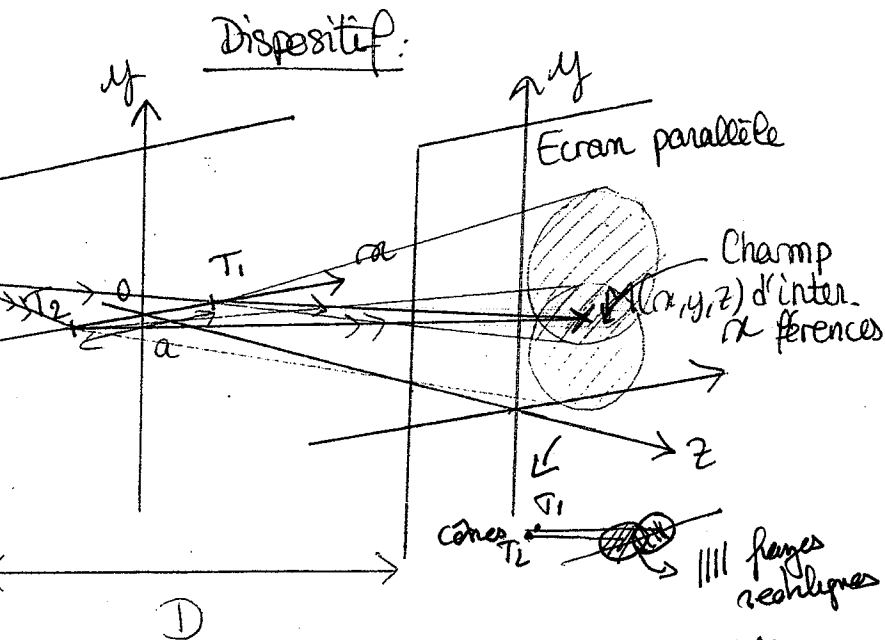
$$\sin(\theta_p) - \sin(\theta) = \frac{p\lambda}{a}$$

$$\delta\varphi = 2\pi \frac{a \sin(\theta)}{\lambda}$$



3.3 Exemple de dispositif interférentiel par division du front d'onde: trous d'Young

* Trous d'Young ponctuels dans un milieu non dispersif: source ponctuelle à distance finie et observation à grande distance.



* Définir, exprimer et utiliser:

- l'interfrange: distance entre 2 franges successives de même nature. $i = \frac{\lambda_0 D}{m a}$

- l'ordre d'interférences: $p = \frac{\delta}{\lambda_0}$ { entier franges brillantes, demi-entier franges sombres }

↳ Calcul de i .

$\delta = m \frac{a x}{D}$ ← à partir du milieu des 2 trous

$|x| \ll D, |y| \ll D, |z| \ll D$

* Justifier que les franges ne sont pas localisées: champ d'interférences étendu → on peut mettre l'écran n'importe où dans la zone d'interférence

* Variations de l'ordre d'interférences p :

- avec la position du point d'observation

↳ interpréter la forme des franges observées:

$$E = 2 E_0 \left[1 + \cos \left(\frac{2\pi m a x}{\lambda_0 D} \right) \right] \Rightarrow E(x, y)$$

↳ rectilignes % (Oy)

↳ périodicité en $x \rightarrow i$

- avec la position d'un point source, perte de contraste par élargissement angulaire de la source

- avec la longueur d'onde, perte de contraste par élargissement spectral de la source

↳ utiliser le critère semi-quantitatif de brouillage des franges $|\Delta p| > \frac{1}{2}$ (où $|\Delta p|$ est évalué sur la moitié de l'étendue spatiale (resp. spectrale) de la source) pour interpréter des observations expérimentales:

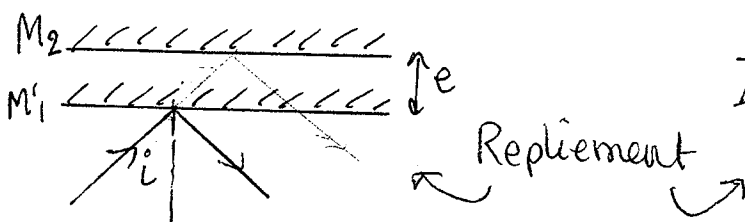
brouillage si $|\Delta p| > \frac{1}{2}$

3.4 Exemple de dispositif interférentiel par division d'amplitude: interféromètre de Michelson éclairé par une source spatialement étendue

* Interféromètre de Michelson éclairé par une source spatialement étendue, localisation (constatée) des franges.

* Connaître les conditions d'éclairage et d'observation :

• en lame d'air :

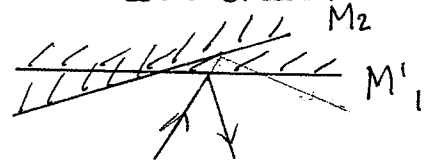


$$M_1 \perp M_2 \rightarrow M'_1 // M_2$$

Observation avec une lentille de projection focale f'

↳ Écran dans plan focal image $l = \frac{z^2}{f'}$

• en coin d'air :



$$M_1 \nparallel M_2 \rightarrow M'_1 \nparallel M_2$$

Observation à l'œil nu sur la "surface commune" des miroirs.

* Régler un interféromètre de Michelson pour une observation en lame d'air avec une source étendue à l'aide d'un protocole proposé.

* Lame d'air : franges d'égal inclinaison (en forme d'anneaux)

↳ Établir et utiliser l'expression de l'ordre d'interférences en fonction de la longueur d'onde, de l'épaisseur de la lame d'air équivalente et de l'angle d'incidence des rayons : $p = \frac{2me}{\lambda} \cos i$

* Mettre en oeuvre un protocole pour accéder au profil spectral d'une raie ou d'un doublet à l'aide d'un interféromètre de Michelson.

* Étude expérimentale en coin d'air : franges d'égal épaisseur

↳ utiliser l'expression (admise) de la différence de marche en fonction de l'épaisseur pour exprimer l'ordre d'interférences : $\delta \approx 2e$ où e est comme ci-contre :

($\approx 2m \lambda x$)

* Analyser un objet (miroir déformé, lame de phase introduite sur un des trajets, etc) à l'aide d'un interféromètre de Michelson.

* Interpréter qualitativement les observations en lumière blanche.